

Задание 1.

Начальная скорость разложения озона и превращение в молекулярный кислород была измерена в различных условиях. Определялось изменение давления.



При 90 °C в присутствии следовых количеств O_3 по сравнению с O_2 (постоянное количество) были получены следующие данные:

$p(\text{O}_3)$, мм рт. ст.	$\Delta P/\Delta t$, мм рт. ст. сек $^{-1}$
7.9	$1.21 * 10^{-3}$
17.7	$5.8 * 10^{-3}$

А. Давление меняется со скоростью $1.21 * 10^{-3}$ (мм рт. ст.) сек $^{-1}$ при 90 °C. Какова скорость расходования O_3 в моль л $^{-1}$ сек $^{-1}$?

Б. Каков порядок реакции по O_3 ?

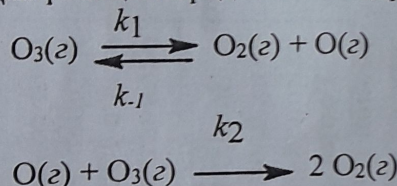
При других условиях, когда начальное давление O_3 поддерживалось постоянным, начальные скорости были измерены как функция, зависящая от давления O_2 при 90 °C и 100 °C:

$p(\text{O}_2)$, , мм рт. ст.	$\Delta P/\Delta t$, , мм рт. ст. сек $^{-1}$, при 90 °C	$\Delta P/\Delta t$, мм рт. ст. сек $^{-1}$, при 100 °C
200	$3.30 * 10^{-3}$	$7.4 * 10^{-3}$
400	$1.45 * 10^{-3}$	$3.64 * 10^{-3}$

В. Каков порядок по O_2 ?

Г. Какова энергия активации реакции?

Д. Для реакции предложен следующий механизм:



Используя квазистационарное приближение, выведите уравнение для скорости реакции по предложенному механизму. При каких условиях оно будет соответствовать данным эксперимента?

Задание 2.

Рассмотрите димеризацию диоксида азота:



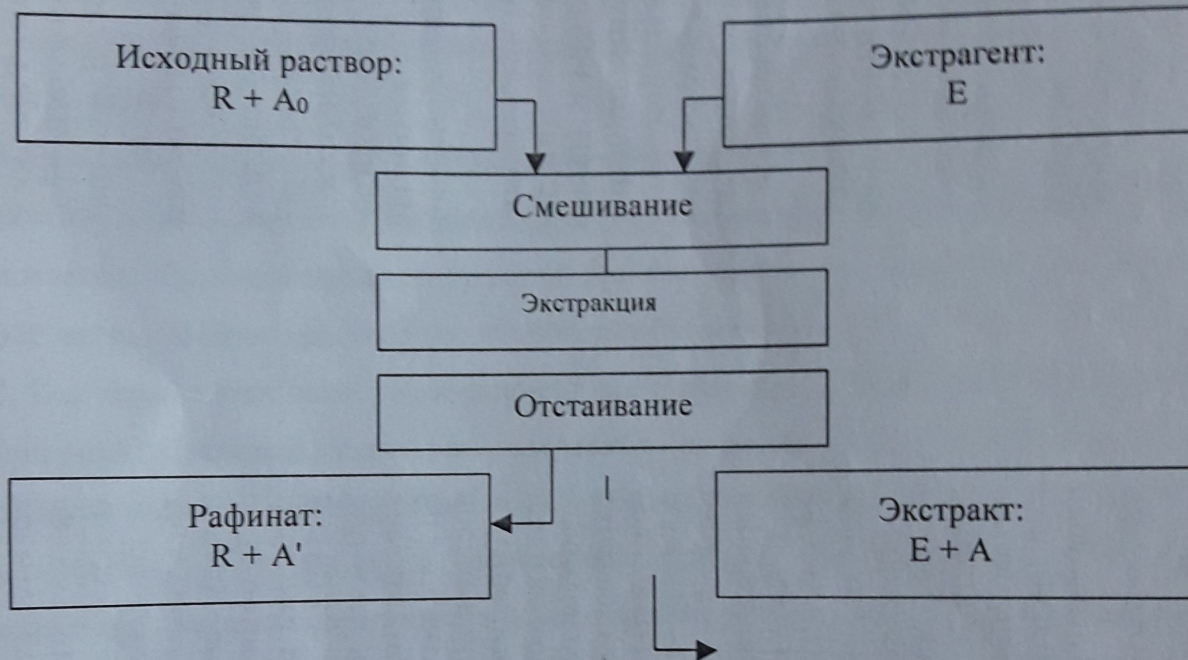
Термодинамические данные газообразных частиц при 298 К кроме теплоты испарения (она для жидких веществ) приведены ниже:

	NO_2	N_2O_4
ΔH°_f , кДж моль $^{-1}$	33.2	11.1
S° , Дж моль $^{-1}$ К $^{-1}$	240.1	304.4
C_p , Дж моль $^{-1}$ К $^{-1}$	37.2	79.2
$\Delta H^\circ_{\text{vap}}$, кДж моль $^{-1}$	27.7	38.1

- А. Рассчитайте ΔH°_p , ΔS°_p и ΔG°_p димеризации $\text{NO}_2(g)$ при 298 К.
 Б. Рассчитайте K_p для димеризации $\text{NO}_2(g)$ при 298 К.
 В. Будет ли K_p при 308 К больше, меньше или равна K_p при 298 К? Обоснуйте свой ответ.
 Г. Будет ли ΔH°_p в жидкой фазе больше, меньше или равна ΔH°_p в газовой фазе? Обоснуйте свой ответ.

Задание 3.

Жидкостная экстракция широко используется в лабораторной практике и в химической промышленности для выделения и очистки соединений. Сущность проведения экстракции целевого компонента А из его раствора в растворителе R чистым экстрагентом Е может быть представлена схемой:



В том случае, когда процесс экстракции ведется в течение промежутка времени, достаточного для достижения состояния равновесия, концентрации экстрагируемого компонента в экстракте и рафинате – связанные величины. Их отношение – коэффициент распределения $\alpha = C(A)/C(A')$ зависит от многих факторов. При постоянной температуре и при относительно небольших концентрациях А коэффициент α можно считать постоянным.

Приготовили 1 л раствора 1,74 г ацетона в толуоле. Пробу полученного раствора объемом

300 мл встряхивали (перемешивали) длительное время с 300 мл воды. После прекращения встряхивания и полного расслаивания концентрация ацетона в верхнем слое составила 0,01 моль/л.

1. Рассчитайте коэффициент распределения ацетона в условиях проведения эксперимента, считая воду и толуол взаимно нерастворимыми жидкостями и пренебрегая изменением объемов растворов при изменении концентрации растворенного вещества. Определите степень извлечения ацетона из толуола водой при такой однократной экстракции.
2. В каком соотношении необходимо разделить 300 мл экстрагента (воды) при проведении двухкратной последовательной экстракции ацетона из 300 мл его раствора в толуоле, чтобы степень извлечения была максимальной? Ответ подтвердите расчетами. Вычислите концентрацию ацетона в полученном рафинате и наблюданную степень извлечения.
3. Экстраполируйте данные на многократную последовательную экстракцию и запишите общее правило, в каком соотношении необходимо проводить деление объема экстрагента на отдельные пробы для достижения максимальной степени извлечения.
4. Рассчитайте степень извлечения, концентрацию ацетона в рафинате и концентрацию ацетона в объединенном экстракте (растворе полученном смешиванием экстрактов на последовательных стадиях экстракции) при трехкратной последовательной экстракции 300 мл толуольного раствора водой общим объемом 300 мл.
5. Как отмечалось выше, коэффициент распределения α можно считать постоянным при низких концентрациях распределяемого вещества. Дайте объяснение, почему в области высоких концентраций α не является постоянным. Попробуйте графически изобразить зависимость α описанного процесса экстракции от равновесной концентрации ацетона в толуоле и зависимость равновесной концентрации ацетона в водном растворе от его равновесной концентрации в толуоле.
6. Коэффициент распределения изомасляной кислоты в среде вода – толуол при аналогичных концентрациях имеет близкое значение к α для ацетона. Однако графики зависимости α и равновесной концентрации кислоты в водном растворе от равновесной концентрации кислоты в толуоле принципиально отличаются от графиков аналогичных зависимостей для ацетона. Изобразите эти графики и дайте объяснение наблюдаемых отличий.
7. Как Вы думаете, коэффициент распределения для бензойной кислоты будет больше или меньше α для изомасляной кислоты? Ответ обоснуйте.

Задание 4.

В какую сторону сдвигается равновесие $D \rightleftharpoons 2M$ при охлаждении раствора? Нарисуйте (качественно) на одном графике три кинетические кривые изменения

оптического поглощения димера ($D_{\text{д}}$) со временем при температурах опыта (после охлаждения смеси) 10, 20 и 30°C.

Для определения энталпии процесса диссоциации $\Delta \rightarrow 2M$ измеряли оптическое поглощение димера (после наступления равновесия) при разных температурах. Для $[M]_0 = 0,005$ моль/л были получены следующие результаты:

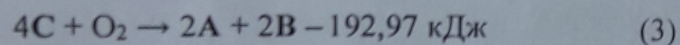
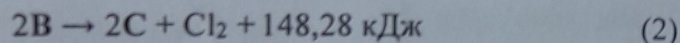
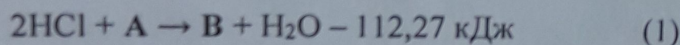
$t, ^\circ\text{C}$	20,0	30,0	39,0	48,0	60,0
$D_{\text{д}}$	1,83	0,95	0,53	0,33	0,17

Константа равновесия связана с энталпией процесса диссоциации ΔH уравнением $K = K_0 e^{-\Delta H/RT}$, где K_0 – константа, не зависящая от температуры, $R = 8,31$ Дж/(моль К) – газовая постоянная, T – абсолютная температура. Это же уравнение можно записать в виде

$$\ln K = \ln K_0 - \Delta H/RT.$$

Задание 5.

Некоторый катализитический процесс при 625°C может быть описан тремя уравнениями реакций (с коэффициентами):



А, В, С – бинарные вещества, С содержит 64,19 масс. % металла.

1. Напишите полное уравнение реакции, катализируемой соединениями металла.
2. Определите состав соединений А – С. Ответ подтвердите расчетом.
3. Выразите $\Delta_r H$ катализируемой реакции (п 1) через теплоты отдельных стадий.
4. Какие способы получения целевого продукта катализируемой реакции используются в промышленном масштабе и в лаборатории (приведите по одному примеру).
5. Стехиометрическую смесь исходных веществ для проведения реакции ввели в реактор при $p = 1$ атм и $T = 625^\circ\text{C}$, выход продукта составил $2/3$. Найдите константу равновесия (K_p) катализируемой реакции в условиях эксперимента.
6. Рассчитайте величину $\Delta_r S$ рассматриваемой реакции, протекающей в газовой фазе при $p = 1$ атм. и 625°C . Для расчета используйте величину $\Delta_r H$, рассчитанную Вами в п 3, K_p из п 5 и уравнение:

$$-RT * \ln(K_p) = \Delta_r H - T * \Delta_r S.$$

Задание 6.

Процесс получения черно-белого фотографического изображения включает четыре стадии: экспонирование (фотолиз AgBr под действием света), проявление (обработка щелочным раствором $\text{C}_6\text{H}_4(\text{OH})_2$), закрепление (обработка раствором $\text{Na}_2\text{S}_2\text{O}_3$) и промывка водой.

При фотолизе в микрокристаллах (МК) образуются центры чувствительности (ЦЧ), являющиеся кластерами Ag_4 . Они увеличивают скорость проявления (восстановление всего МК до Ag). Чувствительность фотослоя характеризуется пороговой чувствительностью $S_{D_0+0.1}$. Она обратна энергии, необходимой для того, чтобы после проявления образовалось изображение с оптической плотностью (D) экспонированных участков на 0,10 единиц D выше, чем на неэкспонированных (D_0). Предположим, что кубические МК с длиной ребра $4.2 \cdot 10^{-5}$ см расположены в один слой. Содержание серебра в фотослое $2.8 \text{ г}/\text{м}^2$. Экспонирование осуществляется светом $\lambda = 550 \text{ нм}$ мощностью $5.0 \cdot 10^{-3} \text{ Дж} \cdot \text{с}^{-1} \cdot \text{см}^{-2}$, который полностью поглощается МК. Кроющая способность серебра $m/s = 5.0 \text{ г}/\text{м}^2$ (m – масса Ag , создающая изображение с $D = 1.0$ на площади s).

1. Напишите ионные уравнения реакций, протекающих при экспонировании, проявлении и закреплении.

2. Используя значения ΔG° , кДж/моль для $\text{C}_6\text{H}_4(\text{OH})_2$ (-222), $\text{C}_6\text{H}_4\text{O}_2$ (-91), AgBr (-97), $\text{S}_2\text{O}_3^{2-}$ (-514), $\text{Ag}(\text{S}_2\text{O}_3)^-$ (-486), $\text{Ag}(\text{S}_2\text{O}_3)_2^{3-}$ (-1027), OH^- (-157), Br^- (-104), H_2O (-237), установите: а) комплекс, преимущественно образующийся при закреплении; б) минимальное значение pH при проявлении, считая все активности, кроме активности OH^- стандартными ($F = 96500$). Подтвердите ваши выводы расчетом.

3. Вычислите число МК AgBr , содержащихся на 1 см^2 фотослоя ($\rho(\text{AgBr}) = 6.47 \text{ г}/\text{см}^3$).

4. Оцените время экспонирования, необходимое для получения изображения с $D = 0.50$. Считайте, что квантовый выход равен 1, а неэкспонированные МК не проявляются ($h = 6.626 \cdot 10^{-34} \text{ Дж} \cdot \text{с}$).

Оцените $S_{D_0+0.1}$ фотослоя.

Задание 7.

В 1957 г. была изучена кинетика реакции 1: $\text{CH}_3\text{Mn}(\text{CO})_5 + {}^{13}\text{CO} \rightarrow \text{A}$, которая оказалась модельной для целого класса реакций, впоследствии названных реакциями внедрения или миграции лиганда. Реакция 1 имеет первый порядок по реагентам, в молекуле A ${}^{13}\text{CO}$ связан с Mn. В ИК-спектрах соединений, содержащих CO группы, наблюдаются валентные симметричные колебания $v(\text{CO})$, см^{-1} : $\text{CH}_3\text{Mn}(\text{CO})_5$ (1895; 1863); A (1885; 1860;

1720); $\text{Mn}_2(\text{CO})_{10}$ (1980; 2020); $(\text{CH}_3)_2\text{CO}$ (1722). Вместо ^{13}CO можно использовать другие нуклеофильные реагенты (L), например амины, фосфины, фосфиты и т.д.

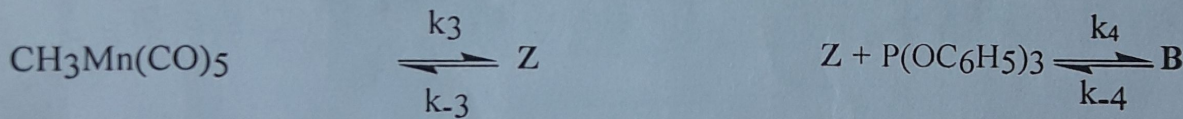
Реакция 2: $\text{CH}_3\text{Mn}(\text{CO})_5 + (\text{C}_6\text{H}_5\text{O})_3\text{P} \rightarrow \text{B}$ изучена в тетрагидрофуране, в избытке фосфита:

$C(L)$, моль/л	0.0250	0.0500	0.100	0.125	0.500	0.750	1.00
$k_{\text{exper}} \cdot 10^4$, с^{-1}	4.12	5.85	7.41	7.83	9.41	9.66	9.75

ИК-спектры интермедиатов реакций 1 и 2 одинаковы, а спектры соединений **A** и **B** очень схожи в области $\nu(\text{CO})$.

1. Расшифруйте вещества. Изобразите структурные формулы **A**, **B**, $\text{Mn}_2(\text{CO})_{10}$ и интермедиатов реакций 1 и 2, которые содержат трехчленный цикл.
2. Предложите двухстадийный механизм реакции 1 (k_1 ; k_{-1} ; k_2). Выведите кинетическое уравнение, считая концентрацию интермедиатов стационарной.

3. Методом стационарных концентраций выведите выражение скорости $dC(\text{B}) / dt$ если механизм реакции 2:



4. Считая, что реакция 2 идет практически до конца, упростите выражение скорости и приведите уравнение для k_{exper} . Преобразовав полученное выражение, укажите координаты, в которых экспериментальная зависимость $k = f(C)$ будет линейной.
5. Вычислите значения k_3 и k_{-3}/k_4 , используя данные из первой и последней колонок таблицы.
6. Оцените значение k_3 для других нуклеофильных реагентов L , если k_{-3}/k_4 равно $3.0 \cdot 10^{-3}$ для циклогексиламина и $5.1 \cdot 10^{-3}$ для трифенилфосфина.